

# نشریه علمی مکانیک سازه‌ها و شاره‌ها

DOR:

## بررسی شرایط عملکردی بر رفتار حرکتی ذره و حداکثر چگالی قابل تعلیق در فرآیند تعلیق فراصوت

داود دهقانی<sup>۱</sup>، محمدرضا شیخ‌الاسلامی<sup>۲\*</sup>، علی جباری<sup>۳</sup> و سیامک مزدک<sup>۴</sup>

<sup>۱</sup> کارشناسی ارشد، گروه مهندسی مکانیک، دانشکده مهندسی، دانشگاه اراک، اراک، ایران

<sup>۲</sup> استادیار، گروه مهندسی مکانیک، دانشکده فنی و مهندسی، دانشگاه اراک، اراک، ایران

<sup>۳</sup> دانشیار، گروه مهندسی مکانیک، دانشکده فنی و مهندسی، دانشگاه اراک، اراک، ایران

<sup>۴</sup> استادیار، گروه مهندسی مکانیک، دانشکده فنی و مهندسی، دانشگاه تفرش، تفرش، ایران

مقاله مستقل، تاریخ دریافت: ۱۳۹۹/۱۰/۱۷؛ تاریخ بازنگری: ۱۴۰۰/۰۲/۱۹؛ تاریخ پذیرش: ۱۴۰۰/۰۴/۱۷

### چکیده

تعلیق فراصوت به دلیل عدم واپستگی به جنس ماده، پتانسیل بالابی برای استفاده در کاربردهای مختلف دارد. از میان پارامترهای موثر، فاصله بازتابنده تا مبدل و ولتاژ نقش موثرتری در این فرآیند ایفا می‌کنند. ارائه یک مدل عددی دقیق، نقش موثری در مطالعه کارایی پارامترها دارد. در این مقاله، یک مدل عددی دقیق برای بررسی اثرات موثر در فرآیند ارائه شد. در مدل ارائه شده، با حل همزمان معادلات حاکم بر پیزوالکتریک، معادله موج در محیط جامد و سیال و نیز در نظر گرفتن شرایط سه بعدی تعلیق سعی شده شرایط شبیه‌سازی مشابه حالت تجربی باشد. تطبیق مناسب نتایج مدل و نتایج تجربی به همین دلیل است. با استفاده از مدل عددی، اثر ولتاژ و فاصله بین مبدل و بازتابنده بر تعلیق ذرات بررسی شد. حرکت ذره حین تعلیق، با استفاده از پارامترهای پیشنهاد شده مشخصی در این مقاله توصیف شد. تعریف پارامترهای فوق، امکان مقایسه شرایط ذره مغلق در شرایط کاری مختلف را ایجاد می‌کند. نتایج نشان داد که برای تعلیق مناسب ذرات، تنظیم پارامترهای ذکر شده باید بر اساس مقادیر یکدیگر انجام شود؛ همچنین با مدل عددی ارائه شده، حداکثر چگالی قابل تعلیق در شرایط کاری مختلف با دقت ۰/۴۵ درصد ارائه شد.

**کلمات کلیدی:** تعلیق فراصوت؛ مبدل لانگوین؛ مدل عددی دقیق؛ اختلاف پتانسیل؛ فاصله مبدل از بازتابنده.

## Investigation of Operational Parameters on the Motional Behavior and Maximum Particle Levitated Density in Ultrasonic Levitation

D. Dehghani<sup>1</sup>, M. R. Sheykholeslami<sup>2,\*</sup>, A. Jabari<sup>3</sup>, S. Mazdak<sup>4</sup>

<sup>1</sup> Master of Science (MSc), Department of mechanical engineering, Arak University, P.O. Box 38156 – 879, Arak, Iran.

<sup>2</sup> Assistant professor, Department of mechanical engineering, Arak University, P.O. Box 38156 – 879, Arak, Iran.

<sup>3</sup> Associate professor, Department of mechanical engineering, Arak University, P.O. Box 38156 – 879, Arak, Iran.

<sup>4</sup> Assistant professor, Department of mechanical engineering, Tafresh University, P. O. Box 79611-39518 Tafresh, Iran.

### Abstract

Ultrasonic levitation has a high potential to be used in different applications due to its independence from the material. Among effective parameters, the distance between the reflector and the transducer and applied voltage plays an important role in the process. Presenting a precise numerical model would be helpful. In this paper, a precise numerical model was presented to study of the process. In the model, by simultaneous solving the equations of the piezoelectric and the wave equations in the solid and fluid medium as well as considering the three-dimensional levitation, the simulation conditions were similar to the experiments. Hence results agreed well with the experimental results. The effect of voltage and distance between the transducer and the reflector on the levitated particle was investigated using the model. Particle motion during levitation was explained using the proposed certain parameters. Defining the parameters makes it possible to compare the particle conditions at different working status. The results showed that to properly levitated object conditions, the adjustment of the parameters should be made based on each other's values. Moreover, the maximum density in different working conditions with an accuracy of 0.45% was predicted using the numerical model.

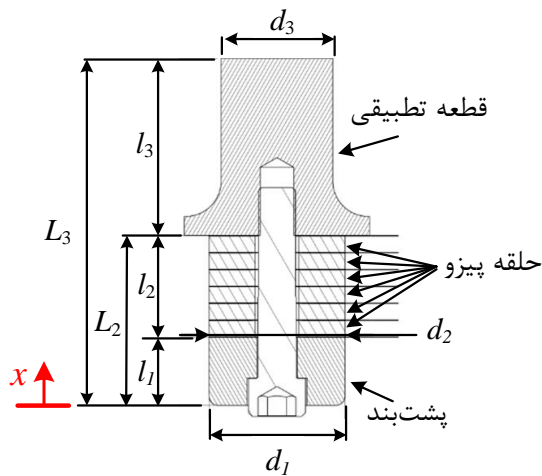
**Keywords:** Langevin Transducer; Precise Numerical Model; Potential Difference; The Distance Between the Transducer from the Reflector.

مي شوند؛ شكل اين قطره‌ها به صورت کروي نبوده و در طول مسیر انتقال از کره كامل به ديسك و بلعکس تبديل مي شوند. ژي و همکاران [۱۰]، به بررسی امكان تعليق فراصوت حشرات و حيوانات کوچک پرداختند. نتایج به دست آمده نشان دهنده زنده ماندن حشرات تحت تاثير امواج فراصوت بود؛ همچنان نشان داده شد که تعليق اجسمان نامتقارن امكان پذير است. سو ژاوو و همکاران [۱۱]، به بررسی سيستم‌های مختلف ياتاقان‌بندي بدون تماس با مکانيزم تعليق فراصوت پرداختند. در اين بررسی دو مدل تحليلي بر اساس معادلات ديناميک سيالات و تئوري آکوستيک ارائه دادند. بر اساس معادلات ديناميک سيالات توزيع فشار وارد بر شفت در اثر ارتعاشات فراصوت بدست آورند و بر اساس تئوري آکوستيک پaramترهای تاثيرگذار بر فرایند را شناسايی و توسط بهبود اين پaramترها ظرفيت بار قابل تحمل افزایش دادند. دنيل فراتي و همکاران [۱۲]، آرایش جدیدی را برای چيدمان شيبوره‌های فراصوت به منظور تعليق و كنترل قطرات با استفاده از فراصوت پيشنهاد کردند. در طرح پيشنهادی آن‌ها تعليق و جابجايی قطرات در هوا در هم آمixinتن قطرات در هم امكان پذير است. سو ژاوو و همکاران [۱۳]، يك ياتاقان لغزشی فراصوت با قابليت كنترل هم محوری ساختند. آنها با استفاده از آرایش ۱۲۰ درجه‌ای سه عدد شيبوره فراصوت توانستند، يك محور دور را تعليق نمایند. يوابچي ايچيای و همکارانش [۱۴]، دستگاهی را برای تعليق سه بعدی ذرات پلی استایرن با اندازه در حدود ميليمتری را با استفاده از امواج ايستاده فراصوت ساختند و نتایج شبیه‌سازی را با نتایج تجربی مقایسه نمودند. دستگاه مذکور شامل يك قاب مربعی است که روی سطوح داخلی آن مبدل‌های فراصوت به صورت ساختار موزاييکی  $17 \times 17\text{mm}$  کار گذاشته شده و رفتار هر مبدل به صورت جدگانه با استفاده از كنترل گر قابل كنترل است. نتيجه اين آرایش همراه با كنترل گر، امكان تعليق ذرات در سه بعد و حرکت دادن دقیق آنها را فراهم می کند. فنگ-گو و همکاران [۱۵]، با استفاده از تغيير فاز موج‌های ايستاده فراصوت ذرات معلق را به صورت سه بعدی حرکت داده و آنها را كنترل کردن. آنها با استفاده از دو جفت مبدل بين دنده‌های دوطرفه متعماد، موج‌های ايستاده دو بعدی ايجاد کردن و سپس با انتشار اين امواج

### ۱- مقدمه

امواج فراصوت، امواج مکانيکي هستند که توسط موج‌های ايستا تولید مي شوند. اين امواج کاريدهای از قبيل نرم‌شوندگی آکوستيکي در فلزات [۱] تا غله بر نيريوي جاذبه و تعليق اجسام در فضا را دارند. رفتار اجسام در فضا و تاثير ب وزني روی آن از ديرباز مورد توجه محققان قرار دارد. روش‌های مختلفی برای تعليق اجسام شامل تعليق الكترومغناطيسي، الکتریکی و نوری معرفی شدند. محدودیت مهم روش‌های تعليق مذکور، وابستگی آن‌ها به جنس ماده تعليق شده است. در تعليق مغناطيسي تعليق محدود به مواد مغناطيسي، در تعليق الکتریکي محدود به ذرات باردار و در تعليق نوری به ذره شفاف است. تعليق فراصوت روش ديگري است که اخيراً برای تعليق ذرات توسعه داده شده و مورد بررسی قرار مي گيرد. مزيت سيستم تعليق فراصوت عدم وابستگی آنها به جنس ماده معلق شده است. اين مطلب باعث امكان پذير شدن مطالعه روی مائيات [۲ و ۳]، سلول‌های زنده، داروسازی و مطالعات پزشكى [۶-۴] مي شود. پaramترهای موثر بر تعليق فراصوت و اثرات آنها بر فرایند تعليق صوتی به صورت كامل شناخته شده نیست و نيازمند بررسی و مطالعه است.

پيرامون تعليق فراصوت تحقیقات زيادي انجام شده است. هاجيمه هاتانو و همکاران [۷]، به بررسی آرایش‌های مختلف دستگاه‌های شناورسازی فراصوت پرداخته‌اند. با استفاده از شبیه‌سازی المان محدود قدرت و پايداري نيريوي موقعیت‌دهی امواج ايستاده موثر بر نمونه‌ها در تعليق با آرایش لوله‌ای را بررسی کردن. آن‌ها توزيع نيريوي وارد بر ذره تعليق شده را بدست آورند. برمتز و كالاس [۸]، به بررسی روابط بين فشار منتشر شده و نيريوهای موثر امواج ايستاده بر ذرات کوچک کروي در مختصات صفحه‌ای، استوانه‌ای و کروي پرداختند. در سه دستگاه مختصات موقعیت‌هایي که بيشترین نيريوهای موثر بر اثر امواج ايستاده دارند را مشخص کردن. تتسر و اوتسوكا [۹]، با استفاده از فيلم‌برداري سرعت بالا به بررسی اثرات امواج ايستاده فراصوت روی قطرات معلق پرداختند. آزمایش آنها با استفاده از يك مبدل و يك بازنابند در فاصله ۵ برابر طول موج انجام گرفت و مشاهده کردن که قطرات هنگام تعليق بهمorer از گره‌های بالايي به گره‌های پابيني منتقل



شکل ۱- اجزای مبدل و پارامترهای استفاده شده در طراحی

جدول ۱- قطر و مساحت قسمت‌های مبدل

نام پارامتر	نام پارامتر	مقادیر (mm)	مقادیر (mm <sup>2</sup> )
$d_1$	$s_1$	۵۰	۱۹۶۳
$d_2$	$s_2$	۵۰	۱۹۶۳
$d_3$	$s_3$	۴۱	۱۳۲۰

ریاضی صرف نظر شده، کل قطعه با قطر قسمت کوچکتر قطعه تطبیقی در نظر گرفته می‌شود. قطر و مساحت هر قسمت مبدل، مطابق جدول ۱ محاسبه شد.  
با توجه به شکل ۱ طول قسمت‌های مبدل مطابق رابطه‌های ۱ تا ۳ محاسبه می‌شود.

$$L_1 = l_1 \quad (1)$$

$$L_2 = l_1 + l_2 \quad (2)$$

$$L_3 = l_1 + l_2 + l_3 \quad (3)$$

نظر به تجربه طول پشت‌بند ( $l_1$ ) برابر ۲۵ mm در نظر گرفته شد. با توجه به توان مورد نیاز، ۲ kW تعداد ۶ عدد حلقه پیزوالکتریک در نظر گرفته شد. برای اتصال برق متناوب به آن از ۷ الکترود مسی استفاده شد. ضخامت پیزوالکتریک برابر ۰.۲ mm و ضخامت الکترودها برابر ۰.۶ mm است. از این‌رو طول  $l_2$  برابر  $37/4$  mm در نظر گرفته شد. با استفاده از رابطه ۲ مقدار  $L_2$  برابر  $62/4$  mm بدست می‌آید.

گره‌های با ثبات سه‌بعدی ایجاد کردند. موقعیت این گره‌های سه‌بعدی با استفاده از تغییرات فاز و زاویه مبدل‌ها انجام می‌گیرد.

همانطور که پیشتر بیان شد، تعلیق فراصوت فرینتی کاربردی که نیازمند کنترل دقیق است. به منظور کنترل دقیق، پارامترهای تاثیرگذار اختلاف پتانسیل اعمالی و فاصله مبدل و بازتابنده در این مقاله بررسی شد. در ابتدا یک مبدل با توجه شرایط تعلیق طراحی شد؛ سپس با حل معادلات مربوطه پارامترهای مهم طراحی استخراج شد. در ادامه برای حداقل کردن فرض‌ها و همچنین مشابه شرایط واقعی با استفاده از نرم‌افزار المان‌محدود کامسول شبیه‌سازی سه بعدی بر اساس کوپل محيط‌های فیزیکی، مکانیک جامد، الکترواستاتیک، آکوستیک فشار و ردیابی ذرات برای جریان سیالات انجام شد. در انتها شرایط تعلیق ذرات برای اختلاف پتانسیل‌های مختلف و سه فاصله بازتابنده تا مبدل  $\frac{3\lambda}{2}$ ,  $\lambda$ ,  $\frac{\lambda}{2}$  بررسی شد.

## ۲- طراحی مبدل

مبدل وسیله‌ای برای تبدیل جریان متناوب به جابجایی مکانیکی با فرکانس بالا است. در این مقاله فرکانس اختلاف پتانسیل اعمالی بر مبدل برابر ۲۰ kHz در نظر گرفته شد. مبدل طراحی شده در سه بخش کلی طراحی شد. بخش اول مربوط به قطعه پشت‌بند است که طولی برابر با  $L_1$  دارد، بخش دوم مربوط به مجموع طول حلقه‌های پیزوالکتریک (PZT) و الکترودها است با طول کلی برابر با  $L_2$  و بخش سوم مربوط به طول قطعه تطبیقی به طول  $L_3$  است. در شکل ۱ قسمت‌های مختلف مبدل نشان داده شده است.

حلقه‌های پیزوالکتریک دارای استاندارد می‌باشند؛ از این‌رو قطر حلقه‌ها برابر ۵۰ mm، مطابق با استاندارد و قدرت مورد نیاز انتخاب شد. قطر قسمت پشت‌بند برای جلوگیری از ارتعاشات جانی حتی امکان باید کوچک فرض شود. با توجه به قطر حلقه‌های پیزوالکتریک، قطر قطعه پشت‌بند برابر ۵۰ mm نظر گرفته شد.

همانطور که در شکل ۱ مشاهده می‌شود، قطعه تطبیقی در یک طرف قطر بیشتری دارد؛ علت این امر افزایش سطح قطعه تطبیقی به منظور افزایش انتقال حرارت است. در این مقاله از اختلاف قطر قطعه تطبیقی برای ساده‌تر شدن حل

در ادامه با مشتق‌گيری از روابط ۶ تا ۸، سرعت موج مطابق روابط ۹ تا ۱۱ بدست می‌آيد.

$$\frac{du_1}{dx} = -A_1 \frac{\omega}{c_1} \sin \frac{\omega}{c_1} x + A_2 \frac{\omega}{c_1} \cos \frac{\omega}{c_1} x \quad (9)$$

$$\frac{du_2}{dx} = -A_3 \frac{\omega}{c_2} \sin \frac{\omega}{c_2} x + A_4 \frac{\omega}{c_2} \cos \frac{\omega}{c_2} x \quad (10)$$

$$\frac{du_3}{dx} = -A_5 \frac{\omega}{c_3} \sin \frac{\omega}{c_3} x + A_6 \frac{\omega}{c_3} \cos \frac{\omega}{c_3} x \quad (11)$$

برای جلوگیری از پیچیده شدن معادلات در حل‌های عددی، از  $C_1$  و  $E_1$  (با اندیس ۱) برای فولاد ضدزنگ ۳۰۴، از  $C_2$  و  $E_2$  (با اندیس ۲) برای مجموعه حل‌های پیزوالکتریک و از  $C_3$  و  $E_3$  (با اندیس ۳) برای قسمت آلومینیومی استفاده شد. به ترتیب  $C$  و  $E$  سرعت صوت و مدول الاستیسیته شد. مبدل با هوا در تماس است و هوا نیروی کمی به مبدل وارد می‌کند. در این مقاله برای ساده‌سازی از این نیرو صرف‌نظر شده است؛ در نتیجه در  $x = 0$  مبدل بی‌بار فرض می‌شود؛ بنابراین نیروی وارد بر مبدل ( $F_J$ ) برابر صفر می‌شود. صفر شدن نیرو به معنای صفر بودن تنش و در نتیجه صفر بودن کرنش می‌شود. رابطه ۱۲ از نتیجه صفر بودن کرنش بدست آمده است.

$$\varepsilon_1 = 0 \rightarrow \left. \frac{du_1}{dx} \right|_{x=0} = 0 \rightarrow A_2 \frac{\omega}{c_1} = 0 \quad (12)$$

از طرفی طبق شرط پیوستگی جایجایی دو قطعه  $u_1$  و  $u_2$  در نقطه  $x = L_1$  با یکدیگر برابر است. رابطه ۱۳ بر اساس این شرط پیوستگی نوشته شد. با جایگذاری رابطه ۶ و ۷ در رابطه ۱۳، رابطه ۱۴ بدست می‌آید.

$$x = l_1 = L_1 \rightarrow u_1(L_1) = u_2(L_1) \quad (13)$$

$$A_1 \cos \frac{\omega}{c_1} L_1 + A_2 \sin \frac{\omega}{c_1} L_1 - A_3 \cos \frac{\omega}{c_2} L_1 - A_4 \sin \frac{\omega}{c_2} L_1 = 0 \quad (14)$$

طبق قانون دوم نیوتون بین دو قطعه ۱ و ۲ (قطعه پشت‌بند و مجموعه حل‌های پیزوالکتریک) در  $x$  برابر  $L_1$  نیرویی که به هم وارد می‌کنند با هم برابر است. رابطه ۱۵ این برابر را بیان می‌کند.

$$F_1(L_1) = F_2(L_1) \quad (15)$$

با استفاده از قانون هوک و مفهوم کرنش رابطه ۱۵ به صورت رابطه ۱۶ می‌توان نوشت.

مقدار  $l_3$  مجھول است که به صورت پارامتری در روابط قرار داده می‌شود و مطابق روند توضیح داده شده در ادامه بدست می‌آید.

قطعه پشت‌بند از فولاد ضدزنگ ۳۰۴ و قطعه تطبیقی از آلومینیوم 7075-T6 استفاده شد [۱۶]. حل‌های پیزو از جنس PZT4 در نظر گرفته شد. یکی از مواردی که در طراحی مبدل نیاز است، سرعت صوت در مواد انتخاب شده است. سرعت صوت از رابطه ۴ بدست می‌آید. در رابطه ۴، چگالی،  $E$  ضریب الاستیسیته و  $C$  سرعت صوت در قطعه است.

$$C = \sqrt{\frac{E}{\rho}} \quad (4)$$

با در نظر گرفتن دمای استاندارد ضریب الاستیسیته، چگالی و سرعت صوت مواد انتخاب شده با استفاده از رابطه ۴ مطابق جدول ۲ بدست آمد.

با توجه به تقارن محوری مبدل و اعمال ارتعاشات در راستای محوری، از معادله موج یک بعدی استفاده شد. رابطه ۵ معادله موج یکبعدی را نشان داده شده است [۱۸]. مبدا  $x$  در شکل ۱ نشان داده شده است.

$$\frac{\partial^2 u}{\partial x^2} = \frac{\rho}{E} \frac{\partial^2 u}{\partial t^2} \quad (5)$$

از حل رابطه ۵ برای سه قسمت مدل روابط ۶ تا ۸ بدست می‌آید.

$$u_1(x) = A_1 \cos \frac{\omega}{c_1} x + A_2 \sin \frac{\omega}{c_1} x \quad (6)$$

$$u_2(x) = A_3 \cos \frac{\omega}{c_2} x + A_4 \sin \frac{\omega}{c_2} x \quad (7)$$

$$u_3(x) = A_5 \cos \frac{\omega}{c_3} x + A_6 \sin \frac{\omega}{c_3} x \quad (8)$$

جدول ۲- چگالی، ضریب الاستیسیته و سرعت صوت برای مواد استفاده شده [۱۷]

ماده	ضریب الاستیسیته $\frac{Kg}{m^3}$	چگالی (GPa)	سرعت صوت (m/s)
فولاد ضد زنگ ۳۰۴	۷۸۶.	۲۰۵	۹۹/۵۱۰۶
آلومینیوم 7075 T6	۲۸۱.	۷۷/۱	۳/۵۰۵۱
PZT4	۷۶۰.	۷۸	۶/۳۲۰۳

دستگاهی از معادله‌های ۱۴، ۱۷، ۲۰ و ۲۲ بر حسب پارامترهای ثابت  $A_1$  تا  $A_6$  تشکیل داده شد. ماتریس ضرایب دستگاه مذکور به شکل رابطه ۲۴ است. برای وجود جواب‌های غیر صفر لازم است که دترمینان ماتریس ضرایب (رابطه ۲۴) برابر صفر باشد. با برابر قرار دادن دترمینان ماتریس ضرایب برابر صفر و جایگذاری روابط ۱ تا ۳ در معادله مذکور با توجه به اینکه تنها مجهول  $l_3$  است؛ مقدار  $l_3$  بدست می‌آید. برای حل معادله مذکور از روش حل عددی به کمک نرمافزار متماتیکا استفاده شده است. در شکل ۲ مقدار معادله مذکور بر حسب  $L_3$  نشان داده شده است. همانطور که در شکل ۲ مشاهده می‌شود؛  $L_3$  برابر  $125/96\text{ mm}$  ریشه معادله حاصل از دترمینان ماتریس ضرایب است. با استفاده از رابطه ۳ مقدار  $l_3$  برابر  $63/4\text{ mm}$  بدست می‌آید. فرکانس تشدید مبدل طراحی شده با فرکانس طراحی مطابقت مناسبی داشته و خطای کمتر از ۵ درصد بین فرکانس تشدید طراحی مبدل و فرکانس تشدید مبدل وجود دارد.

### ۳- مکانیزم تعلیق

مکانیزم فرایند تعلیق فراصوت مجموعه‌ای از پدیده‌های فیزیکی است که هر کدام فیزیک مختص به خود را دارند. در این مکانیزم ابتدا جریان متناوب با فرکانس بالا به حلقه‌های پیزوالکتریک اعمال می‌شود. حلقه‌های پیزوالکتریک جریان متناوب را به ارتعاشات مکانیکی با فرکانس بالا تبدیل می‌کنند. ارتعاشات مکانیکی در طول قطعه تطبیقی انتشار پیدا کرده وارد هوا می‌شود.

با برهمنگی موج رفت و برگشت امواج ایستا ایجاد می‌شود. ذراتی که به صورت اتفاقی در فضای بین مبدل و بازتابنده قرار دارند؛ در نواحی گره امواج ایستا به صورت معلق در می‌آیند.

$$\left[ \begin{array}{cccccc} 0 & \frac{\omega}{c_1} & 0 & 0 & 0 & 0 \\ \cos \frac{\omega}{c_1} L_1 & \sin \frac{\omega}{c_1} L_1 & -\cos \frac{\omega}{c_2} L_1 & -\sin \frac{\omega}{c_2} L_1 & 0 & 0 \\ -E_1 S_1 \frac{\omega}{c_1} \sin \frac{\omega}{c_1} L_1 & E_1 S_1 \frac{\omega}{c_1} \cos \frac{\omega}{c_1} L_1 & E_2 S_2 \frac{\omega}{c_2} \sin \frac{\omega}{c_2} L_1 & -E_2 S_2 \frac{\omega}{c_2} \cos \frac{\omega}{c_2} L_1 & 0 & 0 \\ 0 & 0 & \cos \frac{\omega}{c_2} L_2 & \sin \frac{\omega}{c_2} L_2 & -\cos \frac{\omega}{c_3} L_2 & -\sin \frac{\omega}{c_3} L_2 \\ 0 & 0 & -E_2 S_2 \frac{\omega}{c_2} \sin \frac{\omega}{c_2} L_2 & E_2 S_2 \frac{\omega}{c_2} \cos \frac{\omega}{c_2} L_2 & E_3 S_3 \frac{\omega}{c_3} \sin \frac{\omega}{c_3} L_2 & -E_3 S_3 \frac{\omega}{c_3} \cos \frac{\omega}{c_3} L_2 \\ 0 & 0 & 0 & 0 & -\frac{\omega}{c_3} \sin \frac{\omega}{c_3} L_3 & \frac{\omega}{c_3} \cos \frac{\omega}{c_3} L_3 \end{array} \right] \quad (۲۴)$$

$$E_1 S_1 \frac{du_1}{dx} \Big|_{x=L_1} = E_2 S_2 \frac{du_2}{dx} \Big|_{x=L_1} \quad (۱۶)$$

با جایگذاری رابطه ۹ و ۱۰ در رابطه ۱۶، می‌توان رابطه ۱۷ را نوشت.

$$\begin{aligned} & -E_1 S_1 \frac{\omega}{c_1} (A_1 \sin \frac{\omega}{c_1} L_1 + A_2 \cos \frac{\omega}{c_1} L_1) \\ & + E_2 S_2 \frac{\omega}{c_2} (A_3 \sin \frac{\omega}{c_2} L_1 - A_4 \cos \frac{\omega}{c_2} L_1) = 0 \end{aligned} \quad (۱۷)$$

طبق قانون دوم نیوتون بین دو قطعه ۲ و ۳ (مجموعه حلقه‌های پیزوالکتریک و قطعه تطبیقی) در  $x$  برابر  $L_2$  نیرویی که به هم وارد می‌کنند با هم برابر است. رابطه ۱۸ این برابری را بیان می‌کند.

$$F_2(L_2) = F_3(L_2) \quad (۱۸)$$

با استفاده از قانون هوک و مفهوم کرنش رابطه ۱۸ به صورت رابطه ۱۹ می‌توان نوشت.

$$E_2 S_2 \frac{du_2}{dx} \Big|_{x=L_2} = E_3 S_3 \frac{du_3}{dx} \Big|_{x=L_2} \quad (۱۹)$$

با جایگذاری رابطه ۱۰ و ۱۱ در رابطه ۱۹، می‌توان رابطه ۲۰ را نوشت. در  $L_3 = x$  به دلیل تماس مبدل با هوا مطابق فرض در نظر گرفته شده، نیرو صفر در نظر گرفته شد. در نتیجه رابطه ۲۱ را می‌توان نوشت.

$$\begin{aligned} & E_2 S_2 \frac{\omega}{c_2} \left( -A_3 \sin \frac{\omega}{c_2} L_2 + A_4 \cos \frac{\omega}{c_2} L_2 \right) \\ & -E_3 S_3 \frac{\omega}{c_3} \left( -A_5 \sin \frac{\omega}{c_3} L_2 + A_6 \cos \frac{\omega}{c_3} L_2 \right) = 0 \end{aligned} \quad (۲۰)$$

$$\frac{du_3}{dx} \Big|_{x=L_3} = 0 \quad (۲۱)$$

با جایگذاری رابطه ۸ در رابطه ۲۱، رابطه ۲۲ بدست می‌آید.

$$-A_5 \frac{\omega}{c_3} \sin \frac{\omega}{c_3} L_3 + A_6 \frac{\omega}{c_3} \cos \frac{\omega}{c_3} L_3 = 0 \quad (۲۲)$$

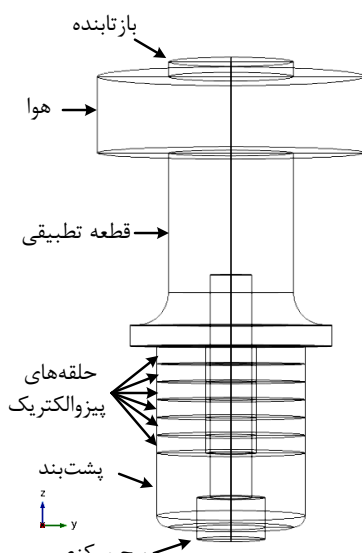
رابطه ۲۳، رابطه بین بسامد و بسامد زاویه‌ای را نشان می‌دهد.

$$\omega = 2\pi f \quad (۲۳)$$

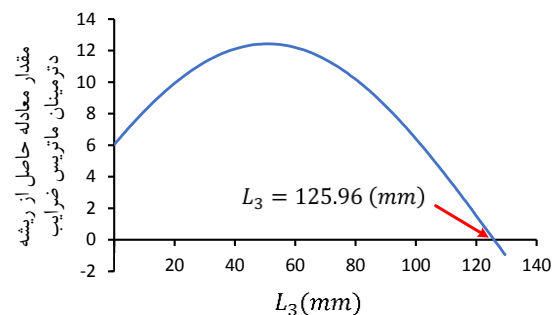
تعليق به صورت یک استوانه با قطر  $90\text{ mm}$  در حدفاصل بین مبدل و بازتابنده مدل گردید. با توجه به اینکه امواج ایستا فقط در ضرایب صحیح از نصف طول موج تشکیل می‌شوند، فاصله مبدل و بازتابنده به صورت ضرایب نصف طول موج در نظر گرفته شده تا امواج ایستا تشکیل گردد. در شکل ۳ مدل ایجاد شده در نرم‌افزار کامسول نشان داده شده است.

#### ۴-۲- المان بندی و شرایط مرزی

از المان هرمی شکل مرتبه اول و به صورت آزاد برای المان بندی در این شبیه‌سازی استفاده شده است. برای بررسی استقلال از المان بندی از اندازه المان بزرگ شبیه‌سازی انجام شد و با روش نصف کردن اندازه المان‌ها کوچک شد. اندازه اولیه المان‌ها برابر  $\lambda$  که طول موج ایجاد شده است، در نظر گرفته شده و حل با آن انجام گردید. سپس اندازه المان را نصف کرده و مجددًا شبیه‌سازی انجام شد. این روند تا زمانی ادامه داده شد که اختلاف نتایج (مقدار تراز شدت صوتی در دو اندازه المان متواالی) کمتر از  $5$  درصد باشد. با شبیه‌سازی اندازه‌های مختلف المان مشاهده شد که با کوچکتر شدن اندازه المان از اندازه  $\lambda/10$  به بعد اختلاف نتایج کمتر از  $5$  درصد است، از این‌رو اندازه المان  $\lambda/10$  برای شبیه‌سازی انتخاب شد. در مرحله اول تحلیل همزمان الکترواستاتیک و جامد انجام شد. در این مرحله از شبیه‌سازی



شکل ۳- مدل ایجاد شده در نرم‌افزار کامسول



شکل ۲- نمودار حاصل از حل عددی ریشه دترمینان

ماتریس ضرایب

#### ۴- شبیه‌سازی المان محدود

##### ۴-۱- مدل سازی

بر اساس مکانیزم شرح داده شد و فیزیک مورد نیاز برای شبیه‌سازی المان محدود، نرم‌افزار کامسول انتخاب شد. این نرم‌افزار قابلیت شبیه‌سازی چند فیزیک به صورت همزمان را دارد است. برای شبیه‌سازی تعیق فرما صوت از محیط‌های فیزیکی، مکانیک جامد<sup>۱</sup>، الکترواستاتیک<sup>۲</sup>، آکوستیک فشار<sup>۳</sup> و ردیابی ذرات برای جریان سیالات<sup>۴</sup> استفاده شده است. از حل همزمان محیط فیزیک جامد و الکترواستاتیک، جریان الکتریکی با فرکانس بالا تبدیل به ارتعاشات مکانیکی، انتقال موج در محیط جامد و بازتاب موج توسط بازتابنده انجام می‌شود. در محیط آکوستیک موج فرما صوت از مبدل وارد هوا شده همچنین فشار صوتی و تراز شدت ناشی از موج ایستای ایجاد شده در محیط تعیق، شبیه‌سازی می‌شود. با استفاده از محیط ردیابی ذرات، رفتار ذرات کوچک تحت تأثیر امواج ایستا بررسی می‌شود. لازم به ذکر است که نتایج بدست آمده در مطالعه فیزیک جامد و الکترواستاتیک به عنوان اطلاعات ورودی در مطالعه فیزیک آکوستیک و ردیابی ذرات به کار رفته است. برای شبیه‌سازی محیط انتشار امواج صوتی و تشکیل امواج ایستا، مبدل صوتی به صورت سه‌بعدی مدل سازی گردید. مبدل شامل چهار قسمت اصلی، قطعه تطبیقی، حلقه‌های پیزوالکتریک، پیچ مرکزی و پشت‌بند است که همه آنها به صورت سه‌بعدی مدل گردید. فضای

<sup>1</sup> Solid Mechanics(solid)

<sup>2</sup> Electrostatics (es)

<sup>3</sup> Pressure Acoustics, Frequency Domain (acpr)

<sup>4</sup> Particle Tracing for Fluid Flow (fpt)

بررسی رفتار ذرات نمودار برای ذرات تعليق شده رسم و موقعیت ذرات تعليق شده بررسی شد. لازم به ذکر است که فقط نتایج ذرات معلق شده در نظر گرفته شد و نتایج ذراتی که از محیط تعليق خارج شده‌اند و یا سقوط کرده و به مبدل چسبیدند حذف شد.

### ۵- آزمایش تجربی

برای بررسی نتایج بر اساس نتایج بدست آمده از طراحی مبدل یک مبدل ساخته شد. در شکل ۴ مجموعه دستگاه ساخته شده برای بررسی نتایج نشان داده شده است. از یک منبع تغذیه  $20\text{kHz}$  با فرکانس  $2\text{kW}$  برای تمام سطوح در تماس با هم تماس تعريف شد. از برهمنش امواج منتشرشده و امواج بازتابیده، امواج ایستا به وجود آید. در مرحله دوم شبیه‌سازی توسط محیط آکوستیک، نرمافزار کامسول فشارصوتی و تراز شدت صوت ناشی از موج ایستای حاصل را محاسبه می‌کند. در تحلیل آکوستیکی تمام سطوح خارجی هورن و فضای تعليق و سطح بازتابنده به عنوان مزr صوتی سخت در نظر گرفته شد. همچنین به عنوان شرایط مزrی اولیه فشار صوتی را در هورن و فضای تعليق صفر نسبت به اتسفر در نظر گرفته شد. در مرحله بعد توسط محیط ریدیابی ذرات، ذرات قابل تعليق را به محیط انتشار امواج اضافه می‌شود. در این مرحله با اعمال نیروهای موثر بر ذرات که عبارت‌اند از نیروی گرانش، نیروی شناوری، نیروی پسا<sup>۱</sup> و نیروی حاصل از موج صوتی در پتانسیل  $7\text{mV}$  و فاصله بازتابنده تا مبدل  $15\text{mm}$  می‌لیمتر (معادل طول موج) نشان داده شده است. همانطور که مشاهده می‌شود، ذره در مکان گره ۱ تعليق شده است. فاصله ذره از سطح ترانسdiyosr  $3/93\text{ mm}$  می‌باشد و تا نقطه گره  $0/07\text{ mm}$  می‌باشد.

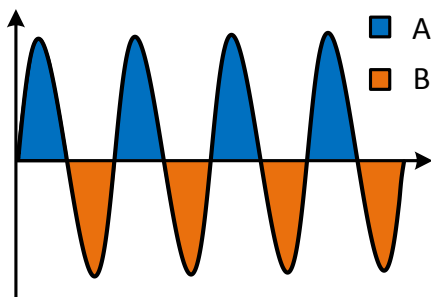


شکل ۴- مبدل و بازتابنده استفاده شده در آزمایش تجربی

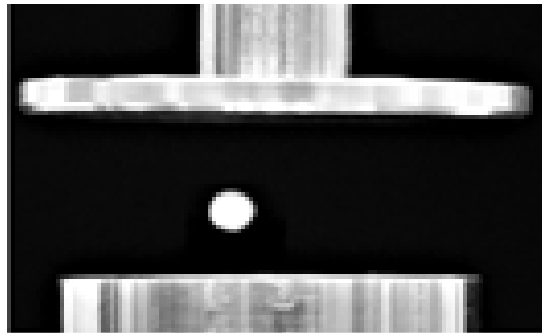
اختلاف پتانسیل مد نظر به صورت سینوسی و با فرکانس  $20\text{kHz}$  و اختلاف پتانسیل صفر به گونه‌ای وارد شد که بدن مبدل دارای اختلاف پتانسیل صفر و صفحات هم‌پتانسیل در حلقه‌های پیزوها در مجاورت هم باشند؛ وارد شد. در این مرحله اختلاف پتانسیل متناوب تبدیل به ارتعاشات مکانیکی می‌شود. سطح بیرون حلقه واقع بر قطعه تطبیقی در تمام جهات مقید شد. برای تمام سطوح در تماس با هم تماس تعريف شد. از برهمنش امواج منتشرشده و امواج بازتابیده، امواج ایستا به وجود آید. در مرحله دوم شبیه‌سازی توسط محیط آکوستیک، نرمافزار کامسول فشارصوتی و تراز شدت صوت ناشی از موج ایستای حاصل را محاسبه می‌کند. در تحلیل آکوستیکی تمام سطوح خارجی هورن و فضای تعليق و سطح بازتابنده به عنوان مزr صوتی سخت در نظر گرفته شد. همچنین به عنوان شرایط مزrی اولیه فشار صوتی را در هورن و فضای تعليق صفر نسبت به اتسفر در نظر گرفته شد. در مرحله بعد توسط محیط ریدیابی ذرات، ذرات قابل تعليق را به محیط انتشار امواج اضافه می‌شود. در این مرحله با اعمال نیروهای موثر بر ذرات که عبارت‌اند از نیروی گرانش، نیروی شناوری، نیروی پسا<sup>۱</sup> و نیروی حاصل از موج صوتی در پتانسیل  $7\text{mV}$  و فاصله بازتابنده تا مبدل  $15\text{mm}$  می‌لیمتر (معادل طول موج) نشان داده شده است. همانطور که مشاهده می‌شود، ذره در مکان گره ۱ تعليق شده است. فاصله ذره از سطح ترانسdiyosr  $3/93\text{ mm}$  می‌باشد و تا نقطه گره  $0/07\text{ mm}$  می‌باشد.

هنگامی که ذرات به دیواره برخورد می‌کنند ناپدید می‌شوند. در این مقاله اثر مقدار اختلاف پتانسیل و فاصله بازتابنده بر حداقل چگالی قابل تعليق و نوسانات ذره‌های تعليق شده، با قرار دادن مبدل در فاصله‌های  $\lambda/2$ ,  $\lambda/3$ ,  $3\lambda/2$  از بازتابنده و تحریک مبدل را با اعمال اختلاف پتانسیل‌های  $300$ ,  $400$ ,  $500$  ولت در فرکانس  $20\text{ kHz}$  انجام گرفت. در ادامه تعداد ۵ ذره به محیط تعليق وارد شد و وضعیت ذرات به مدت ۳ ثانیه و در فواصل زمانی  $0/1$  ثانیه مورد بررسی قرار گرفت. برای

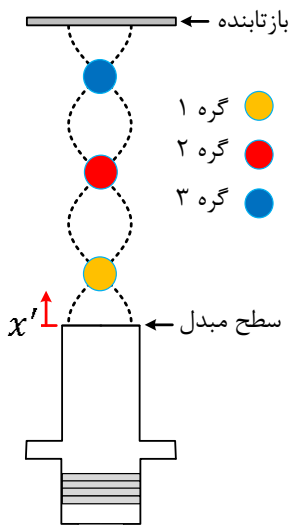
<sup>۱</sup> Drag



شکل ۶- تقسیم‌بندی مساحت زیر نمودار برای تفسیر نتایج



شکل ۵- نمونه‌ای از ذره تعليق شده در آزمایش تجربی



شکل ۷- نامگذاری نواحی گره‌های ایجاد شده

جدول ۳- پارامتر C برای آزمایش تجربی و شبیه‌سازی

	تجربی	شبیه‌سازی	درصد خطأ			
	$\frac{\lambda}{2}$	$\lambda$	$\frac{\lambda}{2}$	$\lambda$	$\frac{\lambda}{2}$	$\lambda$
موقعیت	۰/۹۴	۱/۲۷	۰/۹۹۶	۱/۱۸۶	۶	۶/۶
سرعت	۱/۱	۰/۸۷	۱/۰۱	۰/۹۴۱	۷/۷	۸/۱
شتاب	۰/۹۲	۱/۱۵	۰/۹۸۲	۱/۰۸	۶/۸	۶

## ۶- توزیع تراز شدت صوتی

برای تفسیر نتایج، مبنای تعليق را معلق ماندن حداقل یک ذره از ۵ ذره مورد استفاده برای تعليق در نظر گرفته شد. شکل ۸ نمونه‌ای از کانتور توزیع تراز شدت صوتی را نشان می‌دهد. شکل ۹ نمونه‌ای از نتایج تعليق ذرات را نشان

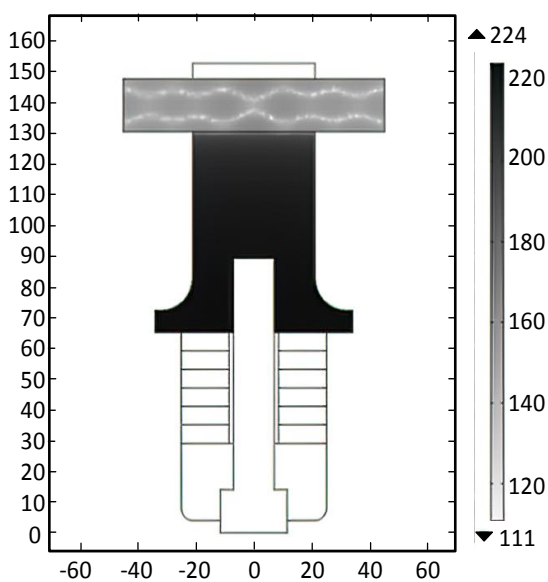
## ۶- نتایج

برای بررسی بهتر نتایج برای نمودار موقعیت، سرعت و شتاب ذره در راستای  $x'$ ، مساحت زیر سطح نمودار، مطابق شکل ۶ محاسبه شد. مساحت ناحیه A در نمودارها نماینده غلبه نیروهای تعليق کننده بر نیروهایی که سبب سقوط ذره می‌شوند. مساحت B نشان دهنده غلبه نیروهایی که سبب سقوط ذره می‌شوند؛ بر نیروهایی که سبب تعليق می‌شوند. فاصله بازتابنده از سطح مبدل برابر  $\lambda, \frac{3\lambda}{2}, \frac{\lambda}{2}$  در نظر گرفته شد. با در نظر گرفتن این فاصله‌ها در فضای بین بازتابنده و سطح مبدل حداکثر سه ناحیه گره به وجود می‌آید. این سه ناحیه مطابق شکل ۷ نامگذاری شد. توجه شود در حالت فاصله  $\lambda$  دو ناحیه گره (گره ۱ و ۲) و در حالت  $\frac{\lambda}{2}$  یک ناحیه گره (گره ۱) بوجود می‌آید.

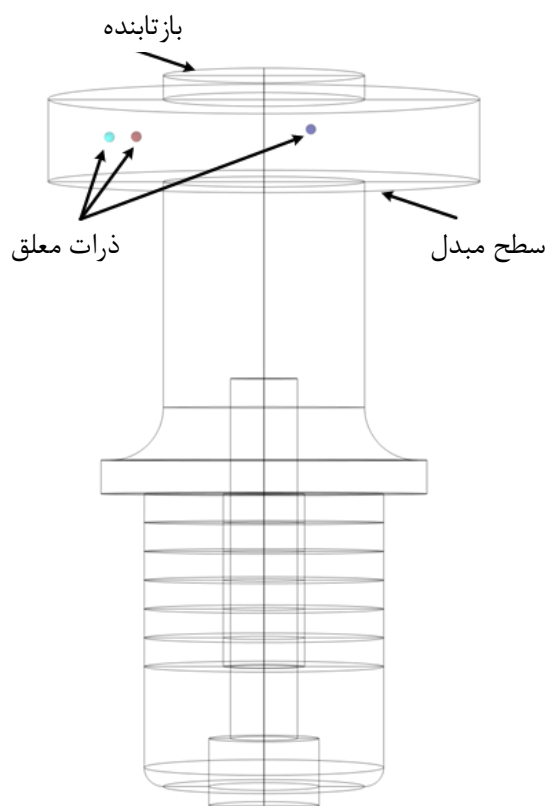
همانطور که پیشتر بیان شد؛ شبیه‌سازی‌ها با مقادیر  $۳۰۰, ۴۰۰$  و  $۵۰۰$  ولت و با فواصل  $\lambda, \frac{\lambda}{2}$  تکرار شد.

## ۶-۱- صحبت‌سنگی

برای صحبت‌سنگی نتایج شبیه‌سازی از آزمایش تجربی استفاده شد. به این منظور برای دو فاصله  $\frac{\lambda}{2}$  و  $\lambda$  اختلاف پتانسیل اعمالی  $V = 300$  تعلیق صورت گرفت. برای مقایسه نتایج پارامتر C (حاصل تقسیم A به B) استفاده شد. سرعت و شتاب با استفاده از مشتق گرفتن از نمودارهای جابجایی ذره نسبت به زمان (شکل ۱۰) به دست آمده است. این نمودار به صورت تجربی با پردازش تصاویر متوالی از تعليق ذره به دست آمده است. همانطور که در جدول ۳ مشاهده می‌شود، بیشینه خطأ برابر  $۸/۱$  درصد است.



شکل ۸- نمونه‌ای از کاتنور شدت تراز صوتی

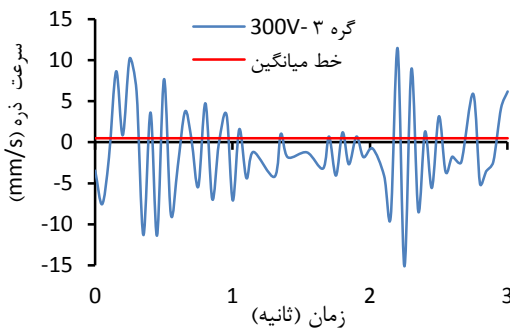


شکل ۹- نمونه‌ای از شبیه‌سازی ذرات معلق شده

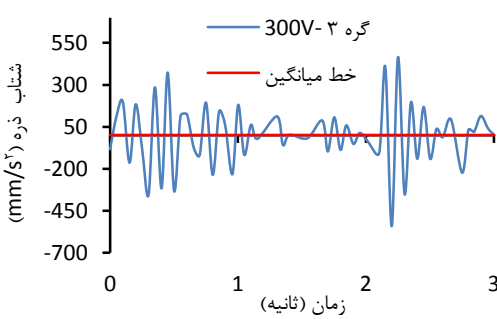
می‌دهد. نتایج نشان می‌دهد؛ از ۵ ذره، ۳ ذره معلق شده و ۱ ذره سقوط نموده و ۱ ذره‌ای هم از محیط تعليق خارج شده است. همانطور که مشاهده می‌شود؛ امواج ایستا در شبیه‌سازی ایجاد شده است.

در جدول ۵ تأثیر فاصله بازتابنده تا مبدل در اختلاف پتانسیل‌های ۳۰۰، ۴۰۰ و ۵۰۰ ولتاژ شدت صوتی و بیشینه جابجایی ذرات نشان داده شده است. ذره در محدوده منطقه گرۀ ارتعاشی رها شده است. همانطور که مشاهده می‌شود، با افزایش فاصله تراز شدت صوتی چه در بیشینه و چه در کمینه کاهش می‌یابد. این پدیده به علت افزایش استهلاک موج فرماصوتی رخ داده است. افزایش مسیر رفت و برگشت موج در هوا سبب افزایش استهلاک می‌شود. کاهش تراز شدت صوت سبب ایجاد پایداری بیشتر تعادل ذره می‌شود. این موضوع با برآری نیروی وزن و نیروی آکوستوفروتیک به دست می‌آید. با این حالت تمایل ذره برای حرکت به سمت بازتابنده به سبب نیروی آکوستوفروتیک کاهش می‌یابد. البته کاهش بیشتر تراز شدت صوت، سبب ناپایداری تعادل و تمایل به حرکت ناپایدار ذره با تحریک به سمت مبدل می‌شود؛ بنابراین مقدار مناسبی از این پارامتر در تعليق یک ذره با شرایط آزمایشگاهی مشخص تعريف می‌شود. مطابق جدول ۴، در ولتاژ ۵۰۰، با افزایش فاصله دامنه جابجایی ابتدا کاهش و سپس افزایش یافته است. کاهش دامنه در ابتدا به سبب دور شدن از سطح هورن است. در فاصله یک و نیم برابر طول موج، کاهش تراز شدت صوت سبب افزایش ناپایداری ذره شده است. در ولتاژ ۴۰۰ ولت، کاهش تراز شدت صوت کمتر بوده در نتیجه ناپایداری ذره در فواصل یک برابر و یک و نیم برابر طول موج یکسان است. کاهش شدت صوت در این فواصل در ولتاژ ۳۰۰ ولت، سبب افزایش ناپایداری شده است.

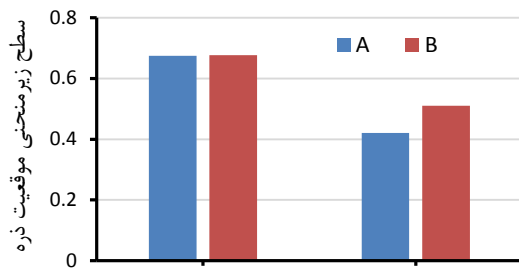
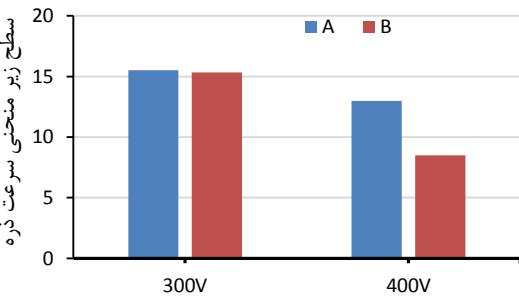
**۶-۳- اثر شرایط بر موقعیت، سرعت و شتاب ذره**  
برای بررسی تأثیر فاصله و اختلاف پتانسیل بر وضعیت ذره ابتدا موقعیت ذره در راستای  $\frac{3\lambda}{2}$  در بازه ۳ ثانیه اول از تعليق بدست آمد. سپس با مشتق گرفتن از داده‌ها سرعت و شتاب بدست آمد شکل ۱۰ تا ۱۲ نمونه‌ای از موقعیت، سرعت و شتاب ذره تعليق شده با اختلاف پتانسیل ۳۰۰ ولتاژ ۷ و فاصله  $\frac{3\lambda}{2}$  نشان داده شده است با توجه به اينکه مقایسه حالت‌های



شکل ۱۱- سرعت ذره تعليق شده در راستاي' x'



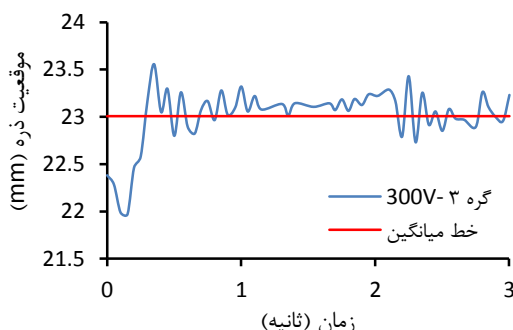
شکل ۱۲- شتاب ذره تعليق شده در راستاي' x'

شکل ۱۳- سطح زير نمودار منحنى موقعیت ذره (فاصله  $\frac{\lambda}{2}$ )شکل ۱۴- سطح زير نمودار منحنى سرعت ذره (فاصله  $\frac{\lambda}{2}$ )

مخالف نيازمند بررسی و پردازش نمودارها می باشد؛ مطابق با روشی که پيشتر توضيح داده شد؛ سطح زير نمودار موقعیت، سرعت و شتاب بدست آمد. مطابق شکل ۱۳، ۱۴ و ۱۵ مشاهده می شود؛ هنگامیکه فاصله بازتابنده از مبدل برابر  $\frac{1}{2}$  است. با افزایش اختلاف پتانسیل، تفاوت A و B در هر سه منحنی افزایش یافته است. افزایش مقدار B برای منحنی شتاب نشان دهنده بزرگتر بودن نيروي برآيند ناشی از وزن ذره است؛ در نتيجه ذره تمایل به سقوط دارد.

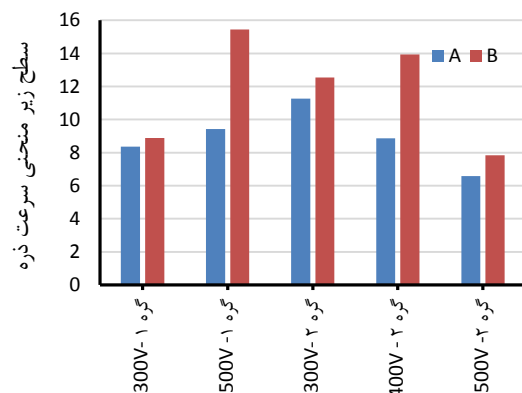
جدول ۴- دامنه جابجایي ذرات در فواصل و اختلاف پتانسیل های مختلف

فاصله پتانسیل (V)	تراز شدت صوتی (dB) بیشینه	تراز شدت صوتی (dB) کمینه	اختلاف فاصله ذره (mm)
۳۰۰	۱۶۵	۱۴۰	۲/۵
۴۰۰	۱۶۷	۱۴۲	۳/۵
۵۰۰	۱۷۰	۱۴۵	۴/۵
۳۰۰	۱۶۱	۱۳۰	۲/۵
۴۰۰	۱۶۳	۱۳۲	۳
۵۰۰	۱۶۵	۱۳۴	۱/۵
۳۰۰	۱۵۷	۱۲۵	۴
۴۰۰	۱۶۰	۱۲۷	۳
۵۰۰	۱۶۳	۱۲۹	۳
$\frac{3\lambda}{2}$			
$\frac{\lambda}{2}$			

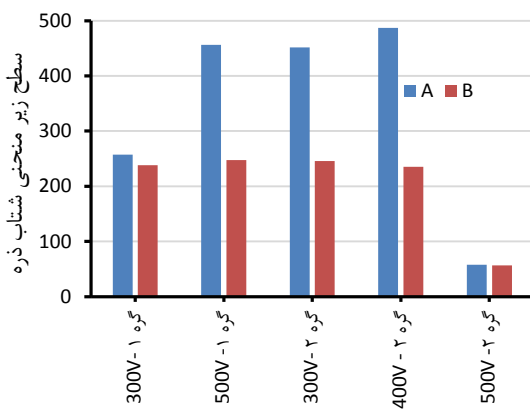


شکل ۱۰- موقعیت ذره تعليق شده در راستاي' x'

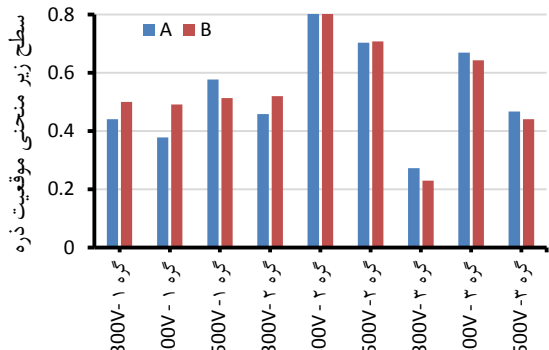
افزایش یافته که نشان دهنده کاهش پایداری ذره است. با مقایسه حالات مختلف هنگامی که اختلاف پتانسیل برابر ۳۰۰V است و ذره در گره ۳ قرار دارد؛ پایدارترین حالت تعلیق در مواردی که بررسی شد.



شکل ۱۷- سطح زیر نمودار منحنی سرعت ذره (فاصله  $\lambda$ )



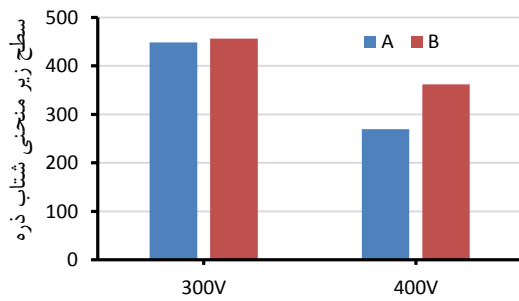
شکل ۱۸- سطح زیر نمودار منحنی شتاب ذره (فاصله  $\lambda$ )



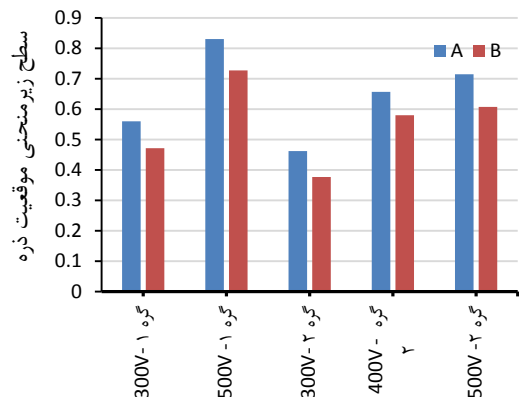
شکل ۱۹- سطح زیر نمودار منحنی موقعیت ذره (فاصله  $\frac{3\lambda}{2}$ )

با بررسی شکل ۱۶، ۱۷ و ۱۸ می‌توان نتیجه گرفت با افزایش اختلاف پتانسیل در حالتی که فاصله بازتابنده تا مبدل برابر  $\lambda$  است؛ اختلاف A و B بیشتر شده و همواره مقادیر A از مقادیر B بیشتر است که نشان دهنده تمایل ذره به صعود است. از طرفی بزرگتر شدن مقادیر A و B نشان دهنده ناپایداری بیشتر ذرات در اختلاف پتانسیل بیشتر است. با مقایسه مقادیر A و B برای دو گره در اختلاف پتانسیل برابر مشاهده می‌شود که در گره ۲ (گرهی که در فاصله دورتری نسبت به مبدل است) به علت کمتر بودن مقادیر A و B دارای ناپایداری بیشتری است. دلیل این پدیده را می‌توان دور شدن از منبع موج دانست. در اطراف منبع موج صوتی، اغتشاش بیشتر است و با دور شدن از این ناحیه پایداری ذره بیشتر می‌شود.

از شکل ۱۹، ۲۰ و ۲۱ مشاهده می‌شود که در فاصله  $\frac{3\lambda}{2}$  نتایج بدست آمده برای حالت فاصله  $\lambda$  تکرار می‌شود. با توجه به بیشتر بودن مقادیر A از B نشان دهنده تمایل صعود ذره در این حالت است و با افزایش اختلاف پتانسیل مقادیر A و B



شکل ۱۵- سطح زیر نمودار منحنی شتاب ذره (فاصله  $\frac{\lambda}{2}$ )

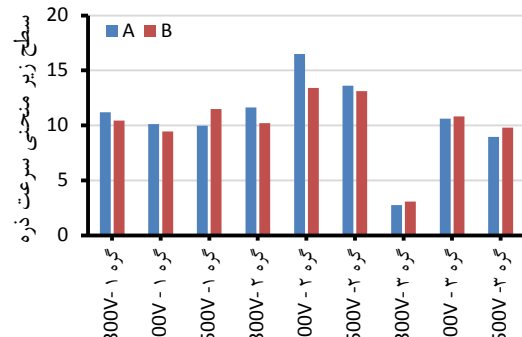
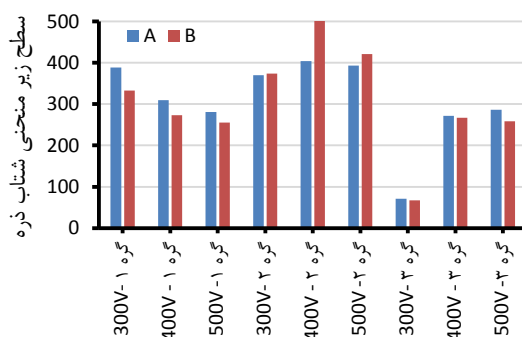


شکل ۱۶- سطح زیر نمودار منحنی موقعیت ذره (فاصله  $\lambda$ )

جدول ۵- مقایسه پارامتر C برای تمام حالات

C				فاصله	
شتاب	سرعت	موقعیت	اختلاف پتانسیل (V)		
۰/۹۸۲۲	۱/۰۱۰۵	۰/۹۹۶۴	۳۰۰	$\frac{\lambda}{2}$	
۰/۷۴۳۹	۱/۵۲۵۹	۰/۵۰۹۸	۴۰۰		
۱/۰۸۰۲	۰/۹۴۱۹	۱/۱۱۸۶۶	۳۰۰	$\lambda$ گره	
۱/۱۸۴۲	۰/۶۱۰۵	۱/۱۱۴۲۵	۵۰۰		
۱/۸۳۸۹	۰/۸۹۸	۱/۲۲۶۶	۳۰۰	$\lambda$ گره	
۲/۰۷	۰/۶۳۶۱	۱/۱۱۳۱۲	۴۰۰		
۱/۰۱۸	۰/۸۴	۱/۱۱۷۵۳	۵۰۰	$\frac{3\lambda}{2}$ گره	
۱/۱۱۶۹	۱/۰۷۳	۰/۸۸۱۳	۳۰۰		
۱/۱۳۵	۱/۰۷۱	۰/۷۶۸۷	۴۰۰	$\frac{3\lambda}{2}$ گره	
۱/۰۹۸	۰/۸۶۹	۱/۱۱۲۲۹	۵۰۰		
۰/۹۸۸	۱/۱۳۷	۰/۸۸۱۳	۳۰۰	$\frac{3\lambda}{2}$ گره	
۰/۷۵۶۵	۱/۲۳	۰/۹۶۵۸	۴۰۰		
۰/۹۳۲۹	۱/۰۳۹	۰/۹۹۲۹	۵۰۰	$\frac{3\lambda}{2}$ گره	
۱/۰۵۵	۰/۸۹۸	۱/۱۱۸۸	۳۰۰		
۱/۰۱۷	۰/۹۸	۱/۰۳۹۸	۴۰۰	$\frac{3\lambda}{2}$ گره	
۱/۱۰۹۴	۰/۹۱	۱/۰۶	۵۰۰		

با کاهش فاصله بین مبدل و بازتابنده بیشینه چگالی قابل تعیق افزایش می‌یابد. این پدیده به توزیع فشار در نقاط گره قابل توجیه است. با کاهش فاصله به علت کمتر شدن مسافت پیموده شده توسط موج ایستا، استهلاک موج ایستا کاهش می‌یابد. با کاهش استهلاک موج ایستا پروفیل فشار ایجاد شده، پرفشارتر می‌شود؛ در نتیجه ذره با چگالی بیشتر قابل تعیق است. با افزایش اختلاف پتانسیل اعمالی، انرژی موج ایستا ایجاد شده افزایش می‌یابد، در نتیجه چگالی قابل تعیق افزایش می‌یابد.

شکل ۲۰- سطح زیر نمودار منحنی سرعت ذره (فاصله  $\frac{3\lambda}{2}$ )شکل ۲۱- سطح زیر نمودار منحنی شتاب ذره (فاصله  $\frac{3\lambda}{2}$ )

برای جمع‌بندی نتایج از پارامتر C استفاده شد. در جدول ۵ پارامتر C برای تمام حالات شبیه‌سازی پارامتر C نشان داده شده است. هر چقدر این پارامتر به ۱ نزدیک‌تر باشد، به معنای پایداری بیشتر تعیق است. همانطور که مشاهده می‌شود. در حالتی که فاصله بین بازتابنده و مبدل برابر  $\frac{3\lambda}{2}$  و گره  $\frac{3\lambda}{2}$  پارامتر C به ۱ نزدیک‌تر است.

#### ۴-۶- بیشینه چگالی قابل تعیق

یکی از مواردی که در تعیق فراصوت از اهمیت فراوان برخوردار است؛ بیشینه چگالی قابل تعیق است. در این مقاله با در نظر گرفتن قطر ذره به اندازه  $\frac{\lambda}{10}$  چگالی بیشینه چگالی قابل تعیق برای اختلاف پتانسیل‌ها و فوائل مختلف با شبیه‌سازی عددی تخمین زده شد. افزایش چگالی با روش نصف کردن انجام شد. معیار تعیق همانند حالات دیگر، حداقل تعیق یک ذره از ۵ ذره وارد شده در محیط در نظر گرفته شد. در جدول ۶ مقادیر بیشینه چگالی قابل تعیق نشان داده شده است. همانطور که مشاهده می‌شود

## -۸ مراجع

- [1] Sheykholeslami M, Cinquemani S, Mazdak S (2018) Numerical study of the of ultrasonic vibration in deep drawing process of circular sections with rubber die. Proceedings Volume 10595, Active and Passive Smart Structures and Integrated Systems XII 10595.
- [2] Zang D, et al. (2017) Acoustic levitation of liquid drops: Dynamics, manipulation and phase transitions. *Adv Colloid Interfac* 243: 77-85.
- [3] Kremer J, et al. (2018) Viscosity of squalane under carbon dioxide pressure—Comparison of acoustic levitation with conventional methods. *J Supercrit Fluid* 141: 252-259.
- [4] Bowen L (2014) Floating on sound waves with acoustic levitation. *COMSOL News* 44-45.
- [5] Karlsen JT, Bruus H (2015) Forces acting on a small particle in an acoustical field in a thermoviscous fluid. *Phys Rev E* 92(4): 043010.
- [6] Cristiglio V, et al. (2017) Combination of acoustic levitation with small angle scattering techniques and synchrotron radiation circular dichroism. *BBA-Gen Subjects* 1861(1): 3693-3699.
- [7] Hatano H, et al. (1982) Ultrasonic levitation and positioning of samples. *Jpn J Appl Phys* 21(S3): 202.
- [8] Barmatz M, Collas P (1985) Acoustic radiation potential on a sphere in plane, cylindrical, and spherical standing wave fields. *J Acoust Soc Am* 77(3): 928-945.
- [9] Otsuka T, Nakane T (2002) Ultrasonic levitation for liquid droplet. *JJAP* 41(5S): 3259.
- [10] Xie W, et al. (2006) Acoustic method for levitation of small living animals. *Appl Phys Lett* 89(21): 214102.
- [11] Zhao S (2010) Investigation of non-contact bearing systems based on ultrasonic levitation. PhD Thesis, Paderborn university.
- [12] Foresti D, et al. (2013) Acoustophoretic contactless transport and handling of matter in air. *PNAS* 110(31): 12549-12554.
- [13] Zhao S, Mojrzisch S, Wallaschek J (2013) An ultrasonic levitation journal bearing able to control spindle center position. *Mech Syst Signal Pr* 36(1): 168-181.
- [14] Ochiai Y, Hoshi T, Rekimoto J (2014) Three-dimensional mid-air acoustic manipulation by ultrasonic phased arrays. *PloS One* 9(5): e97590.
- [15] Guo F, et al. (2016) Three-dimensional manipulation of single cells using surface acoustic waves. *PNAS* 113(6): 1521027.
- [16] Sheykholeslami MR, Hojjat Y, Cinquemani S, Ghodsi M, Karafi M (2016) An approach to design

## جدول ۶- بیشینه چگالی قابل تعليق برای تمام حالات

بیشینه چگالی قابل تعليق $\frac{Kg}{m^3}$	فاصله	اختلاف پتانسیل (V)
۲۱۹	۴۰۰	
۳۶۷۴	$\frac{\lambda}{2}$	
۵۷۵۵	۵۰۰	
۶۱۰	۳۰۰	
۱۰۴۵	۴۰۰	$\lambda$
۱۶۴۲	۵۰۰	
۲۱۴	۳۰۰	
۳۰۸	$\frac{3\lambda}{2}$	۴۰۰
۴۶۸	۵۰۰	

## -۷ نتیجه‌گیری

در این مقاله اثر فاصله مبدل تا بازتابنده و اختلاف پتانسیل اعمالی در فرایند تعليق به کمک امواج فراصوتی بررسی شد. در این بررسی فرایند تعليق به صورت سه بعدی به روش المان محدود شبیه‌سازی شد. شبیه‌سازی به صورت کوپل، مکانیک جامد، الکترواستاتیک، آکوستیک فشار و ردبایبی ذرات انجام شد. نتایج شبیه‌سازی توسط آزمایش تجربی صحبت‌سنجی شده و نشان داده که با افزایش اختلاف پتانسیل تمایل به نوسان ذره حول نقطه تعليق شده افزایش می‌یابد، همچنین با افزایش فاصله به علت افزایش استهلاک صوتی، مقدار تراز صوتی کاهش می‌یابد. با افزایش فاصله بازتابنده و مبدل به علت کاهش تراز صوتی شتاب اعمالی به ذره کاهش می‌یابد. ذره در حالتی که فاصله مبدل و بازتابنده برابر  $\frac{3\lambda}{2}$  است نسبت به حالات  $\lambda$  و  $\frac{\lambda}{2}$  دارای پایداری بیشتری است. دور بودن از منبع موج سبب افزایش پایداری ذره می‌شود. در فواصل خیلی زیاد از منبع موج صوتی به سبب پراکندگی زیاد موج، پایداری ذره کمتر شده و برای جبران این موضوع، باید شدت انرژی صوتی بالاتری اعمال شود؛ همچنین با کاهش فاصله بازتابنده و مبدل و افزایش اختلاف پتانسیل اعمالی مقدار چگالی قابل تعليق افزایش می‌یابد.

- [18] Sheykholeslami M, Hojjat Y, Ghodsi M, Kakavand K, Cinquemani S (2015) Investigation of effect on vibrational behavior of giant magnetostrictive transducers. Shock Vib 2015.
- and fabrication of resonant giant magnetostrictive transducer. Smart Struct Syst 17(2): 313-325.
- [17] Abdullah A, Shahini M, Pak A (2009) An approach to design a high power piezoelectric ultrasonic transducer. J Electroceram 22(4): 369-382.